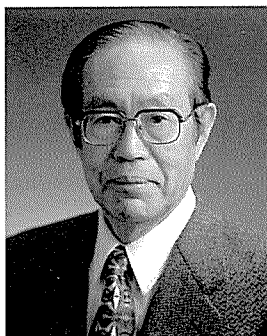


著作目録（湯田春雄）

著者	東北大学史料館
号	635
発行年	1997-03
URL	http://hdl.handle.net/10097/00065452

湯田春雄教授著作目録

平成9年3月
東北大学記念資料室
(著作目録第635号)



湯 田 春 雄 教 授 略 歴

生年月日 昭和8年5月2日生
本 籍 地 北海道
所 属 大学院理学研究科物理学専攻

学 歴

昭和32年3月 東北大学理学部物理学科卒業
昭和32年11月 東北大学大学院理学研究科修士課程退学
昭和41年8月 ペンシルバニア大学大学院理学研究科物理専攻
博士課程修了

学 位

昭和41年8月 Ph.D (ペンシルバニア大学大学院学位) 取得
論文題名「 π^-p reaction at 8GeV/c」

受 賞

な し

職 歴

昭和32年12月～昭和33年10月 東北大学理学部教務員
昭和33年11月～昭和37年7月 東北大学理学部助手
昭和41年9月～昭和44年7月 米国ロチェスター大学物理学科助手
昭和44年7月～昭和49年9月 米国アルゴンヌ国立研究所助教授
昭和49年9月～昭和58年11月 東北大学理学部助教授
昭和58年11月～平成9年3月 東北大学理学部教授
平成9年3月 停年退職

学内活動

昭和61年 4月～昭和64年 3月	東北大学理学部泡箱写真解析施設施設長
平成 4年 4月～平成 7年 3月	同 上
平成 7年 4月～平成 8年 3月	同 上
昭和61年10月～昭和62年 9月	東北大学理学部補導協議員
昭和63年 4月～平成 8年 3月	東北大学理学部原子力関係委員会委員長
昭和63年 4月～平成元年 3月	東北大学理学部運営委員
昭和63年 4月～平成元年 3月	東北大学理学部物理学科委員
平成 2年 4月～平成 6年 3月	東北大学大型計算機センター運営委員
平成 2年 4月～平成 6年 3月	東北大学計算機センター運営委員
平成 2年 4月～平成 6年 3月	東北大学応用情報学研究センター運営委員
平成 2年 4月～平成 9年 3月	東北大学原子理工学委員会教育研究会加速器専門員
平成 2年12月～平成 9年 3月	東北大学理学部附属原子核理学研究施設運営委員
平成 3年 4月～平成 4年 3月	東北大学理学部運営委員会一般委員教育制度委員会委員長
平成 5年 4月～平成 9年 3月	東北大学理学部技術部運営協議会協議員
平成 5年 4月～平成 7年 3月	東北大学教育科目実施計画委員会委員
平成 7年 4月～平成 8年 3月	東北大学理学部物理学科学科長

学会ならびに社会における活動

昭和40年入会	米国物理学会会員
昭和49年入会	日本物理学会会員
昭和51年～昭和53年	高エネルギー物理学研究所実験審査委員
昭和57年～昭和59年	高エネルギー物理学研究所物理専門委員
昭和59年～昭和60年	日本物理学会東北支部長
昭和60年 4月～昭和63年 3月	高エネルギー物理学研究所併任教授
昭和61年～昭和62年	1986年ニュートリノ国際会議組織委員, Proceeding 編集委員
昭和63年～平成 2年	高エネルギー物理学研究所物理専門委員
昭和63年～平成 3年	文部省学術審議会専門委員
平成元年～平成 9年	日米高エネルギー物理学研究協力事業ワーキング・グループ 委員
平成 7年～平成 9年	日米高エネルギー物理学研究協力事業 SLD 実験日本代表

著 作 目 録

I. 編書・著書・共著等

1. “Proceedings of the 12th International Conference on Neutrino Physics and Astrophysics”, (北垣, 湯田) World Scientific Publishing Co Pte Ltd. (1986)
2. “泡箱による Neutral Current 実験”, (湯田, 吉城) 日本物理学会誌 第30巻 第6号 (1975)
3. “ニュートリノ反応”, (湯田), 高エネルギー物理学 Vol.1, No.1, 海洋出版 (1980)
4. “泡箱ニュートリノ実験”, (湯田) 日本物理学会誌 第38巻 第5号 (1983)
5. “第14回レプトン・フォトン国際会議”, (湯田) 日本物理学会誌 第45巻 第2号 (1990)
6. “高エネルギー物理・日米科学協力事業の成果”, (訳・湯田, 梶川) 日本物理学会誌 第48巻 第3号 (1993)

II. 論 文

1. **Measurement of Bremsstrahlung Spectra with Sodium Iodide Scintillation Crystal**
J. Phys. Soc., Japan, **14**, 387 (1959)
M. Kimura et al.
2. **Study of Heavy Odd-mass Indium Isotopes from the (γ, p) Reaction on Tin**
Nuclear Physics **16**, 119 (1960)
H. Yuta et al.
3. **Some New Activities Produced by Fast Neutron Bombardments**
J. Phys. Soc. Japan, **16**, 1664 (1961)
T. Takahashi et al.
4. **New Activities in Rare Earth Region Produced by the (γ, p) Reactions**
J. Phys. Soc. Japan, **16**, 2393 (1961)
T. Kuroyanagi et al.

5. **Distribution of Electron momentum in the heavy Liquid chamber and the Hydrogen chamber with heavy Metal Plates**
BNL Bubble chamber Report (1964)
W. J. Willis et al.
6. **Strange Particle Productions in 7.9GeV/c π^-p Interactions**
Phys. Rev. **152**, 1194 (1966)
R. Ehrlich et al.
7. **Determination of Momentum and Angles of Bubble Chamber Tracks in a Non-Uniform Magnetic Field**
Journal of Computational Physics **1**, 485 (1966)
H. Yuta
8. **Production of $K\pi\pi$ Resonances at High Energy**
Phys. Rev. Lett. **18**, 1087 (1967)
J. Berlinghieri et al.
9. **The Reaction $\pi^-p \rightarrow \pi^-\pi^+n$ at 8Gev/c**
Phys. Rev. **163**, 1462 (1967)
H. Yuta et al.
10. **Antihyperon, Hyperon and Two-Body Reactions**
Hadron Conference at CERN (1968)
J. Berlinghieri et al.
11. **Simulation of Image-Plane-Digitizer Measurements**
U. of Rochester Report (UR-875-219) (1968)
H. Yuta et al.
12. **η Asymmetry without C Non-conservation**
Phys. Lett. **21**, 781 (1968)
H. Yuta et al.
13. **Small Δ^2 Behavior in $\pi^-p \rightarrow \pi^-\pi^+n$ at 8Gev/c ; Chew-Low Extrapolation and Conspiracy Effects**
Phys. Rev. Lett. **21**, 952 (1968)
W. Selove et al.
14. **Search for Multipion Resonance with I=2**
Phys. Rev. Lett. **21**, 1114 (1968)
W. Katz et al.

15. **Search for New Meson Resonance in K^+p Interactions at 12.7 GeV/c**
 Phys. Lett. **278**, 665 (1968)
 J. C. Berlinghieri et al.
16. **Quasi 2-Body Reactions in 13GeV/c K^+p**
 Nucl. Phys. **B8**, 333 (1968)
 J. C. Berlinghieri et al.
17. **The reaction $\pi^-p \rightarrow \pi^-\pi^0p$ at 8GeV/c**
 Phys. Rev. **184**, 1375 (1969)
 S. J. Barish et al.
18. **Reggeized Diffraction Model**
 Univ. of Rochester Report UR-875-27 (1969)
 H. Yuta et al.
19. **Study of the Production of Low $K^*\pi$ mass systems in 12.7GeV/c K^+p Collisions**
 Phys. Rev. Lett. **22**, 1394 (1969)
 M. S. Farber et al.
20. **K^+p elastic Scattering at 12.7GeV/c**
 Nucl. Phys. **B19**, 568 (1970)
 P. L. Jain et al.
21. **Observation of A_1^{+0} production in K^+p Interactions at 12.7GeV/c**
 Phys. Rev. Lett. **23**, 42 (1969)
 J. C. Berlinghieri et al.
22. **Analysis of the Decay Properties of the Q**
 Phys. Rev. **D1**, 78 (1970)
 M. S. Farber et al.
23. **Off-Mass-Shell $K\pi$ Scattering Phase Shifts**
 Phys. Rev. Lett. **26**, 1502 (1970)
 H. Yuta et al.
24. **Charge Exchange Production Mechanism for K^{*+} (890)**
 Phys. Rev. **4D**, 2647 (1971)
 G. C. Fox et al.
25. **Charged-Particle Multiplicity Distribution from 200GeV pp Interactions**
 Phys. Rev. Lett. **29**, 515 (1972)
 G. Charlton et al.

26. **Reaction $p + p \rightarrow \gamma + \text{Anything}$ at 205GeV and Its Implication for π^0 Production**
 Phys. Rev. Lett. **29**, 1759 (1972)
 G. Charlton et al.

27. **Elastic Scattering and Single Pion Production in K^-p Interactions at 5.5GeV/c**
 Phys. Rev. **D5**, 2162 (1972)
 R. Engelmann et al.

28. **Further Aspects of the Reaction $\pi^-p \rightarrow \pi^- \pi^+ n$ at 8GeV/c**
 Phys. Rev. **D6**, 1266 (1972)
 K. Takahashi et al.

29. **Remarks on an S-Wave $K\pi$ Resonance at 1360MeV**
 Nucl. Phys. **B52**, 70 (1973)
 H. Yuta et al.

30. **Study of the Reaction $\nu p \rightarrow \mu^- p \pi^+ p$**
 Phys. Rev. Lett. **30**, 335 (1973)
 J. Campbell et al.

31. **Neutral Strange Particle Production in 205GeV pp Interactions**
 Phys. Rev. Lett. **30**, 574 (1973)
 G. Charlton et al.

32. **Study of the Reaction $\nu n \rightarrow \mu^- p$**
 Phys. Rev. Lett. **31**, 844 (1973)
 W. A. Mann et al.

33. **The Double-Pomeron Exchange Contribution to the Reaction $pp \rightarrow pp \pi^+ \pi^-$ at 205GeV/c**
 Phys. Rev. Lett. **32**, 80 (1974)
 M. Derrick et al.

34. **Analysis of Two-Prong Events in pp Interactions at 205GeV/c : Separation of Elastic and Inelastic Events**
 Phys. Rev. **D9**, 1171 (1974)
 S. Barish et al.

35. **The Reaction $pp \rightarrow pp \pi^+ \pi^-$ at 205GeV/c**
 Phys. Rev. **D9**, 1215 (1974)
 M. Derrick et al.

36. **Diffractional Dissociation in Four-Prong Proton-Proton Interactions at 205GeV/c**
 Phys. Rev. **D9**, 1853 (1974)
 M. Derrick et al.
37. **Isospin Analysis of The Reactions $\pi^\pm p \rightarrow \pi(N\pi)$ at 8GeV/c and Comparison with the Results at 16GeV/c**
 Nucl. Phys. **B66**, 93 (1973)
 J. V. Beaupre et al.
38. **Observation of Single Pion Production by a Weak Neutral Current**
 Phys. Rev. Lett. **33**, 448 (1974)
 B. Barish et al.
39. **K^+p Interaction near 3GeV (I) Elastic Scattering**
 Nucl. Phys. **B81**, 189 (1974)
 H. Yuta et al.
40. **The reaction $\nu p \rightarrow \nu p$ mediated by a weak neutral current**
 Proceedings of The 16th International Conference on High Energy Physics at London (1974)
 H. Yuta et al.
41. **Updated charged-particle multiplicity distribution from 205 GeV/c protonproton interactions**
 Phys. Rev. **D9**, 2689 (1974)
 S. Barish et al.
42. **K^+p Interactions Near 3GeV/c (II): Baryon Resonance Production**
 Nucl. Phys. **B87**, 365 (1975)
 B. Musgrave et al.
43. **Impact Parameter Analysis of the Processes $pp \rightarrow pp\pi^+\pi^-$ and $\pi^-p \rightarrow \pi^-p\pi^+\pi^-$**
 Nucl. Phys. **B97**, 317 (1975)
 B. R. Webber et al.
44. **Line Reversal Breaking in $K^\pm N \rightarrow K^0\Delta$ (1236) and $K^\pm N$ Charge Exchange at 4 and 6GeV/c**
 Phys. Lett. **61B**, 483 (1976)
 J. J. Phelan et al.

45. **Cross Sections and Polarization in $\pi^-p \rightarrow \Lambda K^0$ Near The Backward Direction from 3 to 6GeV/c**
 Phys. Rev. **16**, 2041 (1977)
 C. E. Ward et al.
46. **Study of Neutrino Interactions in H_2 and D_2**
 Phys. Rev. **16**, 3103 (1977)
 S. J. Barish et al.
47. **Direct Electron Production in 8GeV/c π^-p and 15GeV/c $\bar{p}p$ Interactions**
 (I) and (II)
 Proceedings of the 1977 Hamburg Lepton and Photon Conference (1977)
 T. Kitagaki et al.
48. **Antiproton Proton Annihilations at Rest**
 Proceedings of the 19th International High Energy Physics Conference held at Tokyo (1978)
 T. Kitagaki et al.
49. **Direct Electron Production in $p - p$ Interactions at 8GeV/c**
 Proceedings of the 19th International High Energy Physics Conference held at Tokyo (1978)
 T. Kitagaki et al.
50. **Glass Window Mounting For The KEK 1m Hydrogen Bubble Chamber**
 KEK-Exp. Facilities 78-6 (1978)
 N. Ishihara et al.
51. **Inclusive Production of Protons in pp Interactions at 6.94GeV/c**
 Nucl. Phys. **B137**, 253-260 (1978)
 S. Yamashita et al.
52. **Search for a $K_s^0 \pi^+ \pi^-$ Resonance near 2.6GeV in 14.75GeV/c $\bar{p}p$ Interactions**
 Phys. Lett. **78B**, 649 (1978)
 J. Whitmore et al.
53. **Inclusive Production of $K^{*\pm}$ (890) and Σ^\pm (1385) Resonances in $\bar{p}p$ Interactions at 14.75GeV/c**
 Phys. Rev. **D20**, 1029 (1979)
 J. Canter et al.

54. **High statistics measurement of polarization in $\pi^-p \rightarrow K^0\Lambda$ at 3 and 5GeV/c**
 Phys. Rev. **D21**, 599 (1980)
 A. Snyder et al.
55. **Charmed-Baryon Production in High-Energy Neutrino-Deuterium Interactions**
 Phys. Rev. Lett. **45**, 955 (1980)
 T. Kitagaki et al.
56. **Current and Target Jets Produced in High Energy Neutrino-Deuterium Interactions**
 Phys. Lett. **97B**, 325 (1980)
 T. Kitagaki et al.
57. **Comparison of νn and νp Charged-Current Cross Sections from High-Energy Neutrino Interactions in Deuterium**
 Phys. Rev. Lett. **45**, 1817 (1980)
 J. Hanlon et al.
58. **New Decay Mode of the Charmed Baryon, $\Lambda_c^+ \rightarrow \Sigma^0\pi^+$**
 Phys. Rev. Lett. **48**, 299 (1982)
 T. Kitagaki et al.
59. **Neutral-Current νn and νp Cross Sections from High-Energy Neutrino Interactions in Deuterium**
 Phys. Rev. Lett. **48**, 910 (1982)
 T. Kafka et al.
60. **Lifetimes of Chained Particles Produced in a 20-GeV γp Experiment**
 Phys. Rev. Lett. **48**, 1526 (1982)
 K. Abe et al.
61. **Measurement of the Multiplicities in the Collision of Hadrons with Heavy Nuclei at 200GeV/c**
 Nucl. Phys. **B201**, 189-196 (1982)
 D. H. Brick et al.
62. **Neutrino Flux and Total Charged-Current Cross Sections in High Energy Neutrino-Deuterium Interactions**
 Phys. Rev. Lett. **49**, 98 (1982)
 T. Kitagaki et al.

63. **Elastic Scattering and Particle Production in Two-Prong π^-p Interactions at 8GeV/c**
 Phys. Rev. **D26**, 1572 (1982)
 T. Kitagaki et al.
64. **Reaction $\pi^-p \rightarrow \pi^-\pi^+\pi^- p$ at 8GeV/c**
 Phys. Rev. **D26**, 1554 (1982)
 T. Kitagaki et al.
65. **Charmed-Baryon Production in $\nu d \rightarrow \mu^- \Lambda X$ Reactions**
 Phys. Rev. Lett. **49**, 1128 (1982)
 D. Son et al.
66. **Some g (1700) Decay Modes**
 Phys. Rev. **D26**, 2183 (1982)
 W. M. Bugg et al.
67. **Charged-Particle Multiplicity Distributions in νn and νp Charged-Current Interactions**
 Phys. Rev. **D27**, 47 (1983)
 D. Zieminska et al.
68. **High Energy Quasielastic $\nu_\mu n \rightarrow \mu^- p$ scattering in deuterium**
 Phys. Rev. **D28**, 436 (1983)
 T. Kitagaki et al.
69. **Quasielastic charmed-baryon production and exclusive strange-particle production by high energy neutrinos**
 Phys. Rev. **D28**, 2199 (1983)
 D. Son et al.
70. **Study of diquark fragmentation into Λ and Y^{**} in νn and νp interactions**
 Phys. Rev. **D27**, 2776 (1983)
 C. C. Chang et al.
71. **Exclusive neutral-current reaction $\nu_\mu n \rightarrow \nu_\mu p \pi^-$ in BNL 7-foot deuterium bubble chamber**
 Phys. Rev. **D28**, 2900 (1983)
 N. J. Baker et al.
72. **Charm Photoproduction Cross Section at 20GeV**
 Phys. Rev. Lett. **51**, 156 (1983)
 K. Abe et al.

73. Charm Photoproduction at 20GeV

Contribution paper to Lepton-Photon Conference at Cornell (1983)
K. Abe et al.

74. Evidence for a Narrow NN State at 2.02GeV in 6 and 9GeV/c Antiproton Interactions

Phys. Lett. **1122B**, 471 (1983)
F. Azooz et al.

75. An Investigation of Narrow Meson Resonance Production in Antiproton-Proton and Antiproton-Neutron Interactions at 6.1 and 8.9GeV/c

Nucl. Phys. **B244**, 277 (1984)
F. Azooz et al.

76. Inclusive Photonproduction of Neutral Strange Particles at 20GeV

Phys. Rev. **D29**, 1877 (1984)
K. Abe et al.

77. Charm Photoproduction at 20GeV

Phys. Rev. **D30**, 1 (1984)
K. Abe et al.

78. Search for a Threshold Enhancement in the γp - Charm Baryon + Charmed Meson Cross Section

Phys. Rev. **D30**, 694 (1984)
K. Abe et al.

79. Study of the ρ' (1600) Mass Region Using $\gamma p \rightarrow \pi^+ \pi^- p$ at 20 GeV

Phys. Rev. Lett. **53**, 751 (1984)
K. Abe et al.

80. Comparison of Cross Section from Deep-Inelastic Neutrino Scattering on Neon and Deuterium

Phys. Rev. **D32**, 2441 (1985)
J. Hanlon et al.

81. Test of s-channel Helicity Conservation in Inelastic ρ^0 Diffraction in 20GeV Photoproduction

Phys. Rev. **D32**, 2288 (1985)
K. Abe et al.

82. Inclusive Photoproduction of Strange Baryons at 20GeV

Phys. Rev. **D32**, 2869 (1985)
K. Abe et al.

83. Lifetimes, Cross Sections and Production Mechanisms of Charmed Particles Produced by 20GeV Photons

Phys. Rev. **D33**, 1 (1986)

K. Abe et al.

84. Charged-Current Exclusive Pion Production in Neutrino-Deuterium Interactions

Phys. Rev. **D34**, 2554 (1986)

T. Kitagaki et al.

85. Forward Charge Asymmetry in 20GeV γp reactions

Phys. Rev. **D36**, 1 (1987)

T. Kitagaki et al.

86. Nonsinglet Valence-Quark Distribution from Neutrino-Deuterium Deepinelastic Scattering

Phys. Rev. **D37**, 1105 (1988)

J. B. Cole et al.

87. Production and Decay Properties of the $\omega\pi^0$ state at 1250 MeV/c² produced by 20GeV Polarized Photons on Hydrogen

Phys. Rev. **D37**, 1105 (1988)

J. B. Cole et al.

88. Leading particle distribution in 200GeV/c $p + A$ interactions

Phys. Lett. **B200**, 266 (1988)

K. Abe et al.

89. Development of the Crid Single-electron Wire Detector

NIM **A283**, 590-595 (1989)

D. Aston et al.

90. A High Resolution Holographic Freon Bubble Chamber for the Fermilab High-Energy Neutrino Experiment

NIM **A281**, 81-92 (1989)

T. Kitagaki et al.

91. Multiparticle Production by 200GeV/c Hadrons on Gold, Silver, and Magnesium Targets

Phys. Rev. **D39**, 2484 (1989)

D. H. Brick et al.

92. **Construction and Testing of the SLD Cerenkov Ring Imaging Detector**
 SLAC-PUB-5123, January 1990, IEEE Trans. NS-37 1132-1141 (1990)
 D. Aston et al.
93. **Monitor and Control System for the Cerenkov Ring Imaging Detector**
 NIM A293, 136 (1990)
 P. Antilogus et al.
94. **Study of $\nu_\mu d \rightarrow \mu^- p p_s$ and $\nu_\mu d \rightarrow \mu^- \Delta^{++} (1232) n_s$ using the BNL 7-foot deuterium-filled bubble chamber**
 Phys. Rev. D42, 1331 (1990)
 T. Kitagaki et al.
95. **Rapidities of Produced Particles in 200 GeV/c $\pi^+ / p / K^+$ interactions on Au, Ag and Mg**
 Phys. Rev. D41, 765 (1990)
 D. H. Brick et al.
96. **Charge Exchange Photoproduction of the a_2^- (1320) in Association with Δ^{++} at 19.3 GeV/c**
 Phys. Rev. D41, 765 (1990)
 K. Abe et al.
97. **Production of 400 Mirrors with High VUV Reflectivity for Use in the SLD Čerenkov Ring Imaging Detector**
 SLAC-PUB-5199, April 1990, NIM A300, 501-510 (1991)
 D. Aston et al.
98. **Signal Observation from a Pulsed Ionization Chamber Filled with Tetramethyl Germanium**
 JJAP Vol.30, No.3B, March, L525 (1991)
 H. Yuta et al.
99. **Photoproduction of an isovector $\rho\pi$ state at 1775 MeV**
 Phys. Rev. D43, 2787 (1991)
 G. T. Condo et al.
100. **Neutral Strange-Particle Production in 200 GeV/c $p / \pi^+ / K^+$ interactions on Au, Ag and Mg**
 Phys. Rev. D45, 734-742 (1991)
 D. H. Brick et al.

101. **Compensation Studies of a Lead /TMP Calorimeter**
 NIM **A313**, 357–366 (1992)
 B. Aubert, A. Ciocio, H. Yuta et al.
102. **Characteristics of an ionization chamber using tetramethylgermanium**
 NIM **A327**, 134–137 (1993)
 K. Masuda et al.
103. **Photonization of dopants in liquid argon–xenon mixture**
 NIM **A327**, 57–59 (1993)
 Y. Hasegawa et al.
104. **First measurement of the left–right cross section asymmetry in Z boson production by e^+e^- collisions**
 Phys. Rev. Lett. **70**, 2515–2520 (1993)
 K. Abe et al.
105. **A Measurement of α_s from jet rates at the Z^0 resonance**
 Phys. Rev. Lett. **71**, 2528–2532 (1993)
 K. Abe et al.
106. **First measurement of the left–right asymmetry in Z boson production**
 Mod. Phys. Lett. **A8**, 2237–2248 (1993)
 R. D. Elia et al.
107. **Studies of compensation of Iron/TMP and Lead/TMP sampling calorimeters**
 NIM **A334**, 383–390 (1993)
 B. Aubert et al.
108. **Free–Ion Field for Tetramethylsilane and Tetramethylgermanium ionization chamber**
 IEEE **40**, 532 (1993)
 Y. Hoshi et al.
109. **Measurement of the Charged Multiplicity of $Z^0 \rightarrow b\bar{b}$ Events**
 Phys. Rev. Lett. **72**, 3145 (1994)
 K. Abe et al. (SLD Collaboration)
110. **Precise Measurement of the Left–Right Cross Section Asymmetry in Z Boson Production by e^+e^- Collisions**
 Phys. Rev. Lett. **73**, 25 (1994)
 K. Abe et al. (SLD Collaboration)

111. **Measurement of α_s from Energy–Energy Correlation in the Z^0 Resonance**
 Phys. Rev. **D73**, 5580 (1994)
 K. Abe et al. (SLD Collaboration)

112. **The Endcap Čerenkov Ring Imaging Detector at SLD**
 SLAC–Pub–6693 (Nov. 1994), IEEE Nuclear Science Symposium
 K. Abe et al.

113. **Search for Jet Handedness in Hadronic Z^0 Decays**
 Phys. Rev. Lett. **74**, 1512 (1995)
 K. Abe et al. (SLD Collaboration)

114. **Measurement of $\alpha_s(M_Z^2)$ from Hadronic Event Observables at the Z^0 Resonance**
 Phys. Rev. **D51**, 962 (1995)
 K. Abe et al. (SLD Collaboration)

115. **Precision Measurement of the Proton Spin Structure Function g_1^p**
 Phys. Rev. Lett. **74**, 346 (1995)
 K. Abe et al. (E143 Collaboration)

116. **Polarized Bhabha Scattering and a Precision Measurement of the Electron Neutral Current Couplings**
 Phys. Rev. Lett. **74**, 2880 (1995)
 K. Abe et al. (SLD Collaboration)

117. **Measurement of the Parity–Violation Parameter A_b from the Left–Right Forward–Backward Asymmetry of b Quark Production in Z^0 Decays Using a Momentum–Weighted Track–Charge Technique**
 Phys. Rev. Lett. **74**, 2890 (1995)
 K. Abe et al. (SLD Collaboration)

118. **Measurement of the Parity–Violation Parameter A_b and A_c from the Left–Right Forward–Backward Asymmetry of Leptons in Hadronic Events at the Z^0 Resonance**
 Phys. Rev. Lett. **74**, 2895 (1995)
 K. Abe et al. (SLD Collaboration)

119. **Comparison of a new Calculation of Energy–energy Correlations with $e^+e^- \rightarrow$ Hadrons Data at the Z^0 Resonance**
 Phys. Rev. **D52**, 4240–4244 (1995)
 K. Abe et al. (SLD Collaboration)

120. Measurement of the τ Lifetime at SLDPhys. Rev. **D52** 4824–4838 (1995)

K. Abe et al. (SLD Collaboration)

121. Measurement of the Left–Right Forward–Backward Asymmetry for Charm Quarks with D^{*+} and D^+ MesonsPhys. Rev. Lett. **75**, 3609 (1995)

K. Abe et al. (SLD Collaboration)

122. Measurement of the Average B Hadron Lifetime in Z^0 Decays Using Reconstructed VerticesPhys. Rev. Lett. **5**, 3624 (1995)

K. Abe et al. (SLD Collaboration)

123. First Measurement of the T–Odd Correlation between the Z^0 Spin and the Three–Jet Plane Orientation in Polarized Z^0 Decays into Three JetsPhys. Rev. Lett. **75**, 4173 (1995)

K. Abe et al. (SLD Collaboration)

124. Precision Measurement of the Deuteron Spin Structure FunctionPhys. Rev. Lett. **75**, 25 (1995)

K. Abe et al. (SLD Collaboration)

125. Measurements of the Proton and Deuteron Spin Structure Function g_2^p and Asymmetry A_2 Phys. Rev. Lett. **76**, 587 (1995)

K. Abe et al. (SLD Collaboration)

126. Beam tests of the prototype level–1 trigger system and drift tubes with field shapers proposed for the SDC barrel muon systemNIM **A366**, 310–319 (1995)

K. Abe et al. (SLD Collaboration)

127. Measurements of the Q^2 Dependence of the Proton and Deuteron Spin Structure Functions $g_1(p)$ and $g_1(d)$ Phys. Lett. **B364**, 61–68 (1995)

K. Abe et al. (E143 Collaboration)

128. Measurements of R_b with impact parameters and displaced verticesPhys. Rev. **D53**, 1023 (1996)

K. Abe et al. (SLD Collaboration)

129. Test of the flavor independence of strong interactions

Phys. Rev. **D53**, 2271–2275 (1996)

K. Abe et al. (SLD Collaboration)

130. First Study of Paridity Gaps in e^+e^- Annihilation

Phys. Rev. Lett. **76**, 4886–4890 (1996)

K. Abe et al. (SLD Collaboration)

131. Factorial and Cumulant Moments in $e^+e^- \rightarrow$ Hadrons at the Z^0 Resonance

Phys. Lett. **B371**, 149–156 (1996)

K. Abe et al. (SLD Collaboration)

